

電子學及無線電原理

下册

北京農業大學
电子学教研組編

1962年4月

第四章 电子管振荡器

§ 4.1 引言.....	(173)
§ 4.2 电子管振荡器的自激.....	(175)
§ 4.3 振荡器的工作原理.....	(175)
§ 4.4 几种常见的振荡型式和振荡频率稳定问题.....	(184)
§ 4.5 晶体振荡器.....	(190)
§ 4.6 拍频振荡器.....	(193)
§ 4.7 负电阻振荡的基本原理及阻容振荡器.....	(194)
§ 4.8 相移式阻容振荡器.....	(199)
§ 4.9 几种其它型式的振荡器.....	(200)

第五章 无线电原理

§ 5.1 无线电通讯.....	(202)
§ 5.2 电磁波的辐射和发射天线.....	(214)
§ 5.3 发射天线.....	(216)
§ 5.4 电磁波的传播.....	(218)
§ 5.5 调幅波.....	(222)
§ 5.6 调幅中的载波遏止及单旁频带传送.....	(231)
§ 5.7 调频波与调相波.....	(233)
§ 5.8 检波.....	(237)
§ 5.9 无线电接收.....	(243)
§ 5.10 超声拍式接收机（超外差接收机）.....	(244)

第六章 波形形成和脉冲技术

§ 6.1 削波.....	(249)
§ 6.2 波形的微分和积分.....	(255)
§ 6.3 多谐振荡器.....	(260)
§ 6.4 锯齿波发生器.....	(278)
§ 6.5 间歇振荡器.....	(284)
§ 6.6 张驰继电器，单稳态张驰继电器.....	(285)
§ 6.7 双稳态张驰继电器.....	(294)

第七章 电子测量和其它电子设备

§ 7.1 阴极射线管的构造.....	(296)
§ 7.2 在示波管上观测波形.....	(300)
§ 7.3 示波器中电子射线的增辉时标发生器.....	(304)
§ 7.4 示波器的基本结构.....	(307)
§ 7.5 电子开关和几个波形的同时观察.....	(308)
§ 7.6 频率的测量.....	(310)
§ 7.7 电子管伏特计.....	(319)
§ 7.8 电离辐射的测量.....	(326)

§ 7.9	电离辐射計數器.....	(336)
(G) § 7.10	电离輻射計數器的其它附加設備.....	(348)
(E) § 7.11	电子管靜電計.....	(357)
(E) § 7.12	光电管.....	(363)
(E) § 7.13	照度計.....	(368)
(E) § 7.14	酸度計 (PH計)	(370)
(E) § 7.15	超声波的发生和探测.....	(371)

第八章 晶体电子学和晶体管电路

§ 8.1	半导体	(377)
§ 8.2	用能带論解釋本征半导体的导电機構	(378)
§ 8.3	杂质半导体的导电機構	(380)
§ 8.4	半导体和金属接触	(384)
§ 8.5	P-n 結的性質：半导体中載流子的扩散	(385)
§ 8.6	点接触型的晶体二极管	(389)
§ 8.7	面結合型的半导体二极管	(393)
§ 8.8	半导体的放大作用原理	(394)
§ 8.9	点触型晶体三极管	(398)
§ 8.10	面結合型晶体三极管	(402)
§ 8.11	高頻晶体三极管	(405)
§ 8.12	半导体三极管的应用	(406)
§ 8.13	晶体管噪声問題	(411)

第四章 电子管振荡器

§ 4.1 引言

高頻率电流最初被利用在无线电波发射上，但到目前它已被广泛的应用到工业、农业以及医学等许多生产及科学的研究的领域中去了。在工业上用它冶金，做精密加工和热处理，医学上用它电疗，此外电影、探矿、食品加工，无线电通信等中人们都利用着高频率电流。特别是在农业生产上，它对于农作物的产量及禽畜的增重，植物保护等方面都有一定的效果。在上述各部門以及其他部門的科學研究中更是經常使用各种頻率的电流，因而，得到各种所需頻率的电流的方法，引起人們的极大注意。

在电子管发明之前，人們只能从工业上的发电機得到交變电流，常用的50周市电以及作特殊用途的高頻发电機，就是这种装置，但它们不能产生很高頻率的电流。此外，比較古老的方法用火花放电和电弧也能产生高頻率电流。但用这些方法把機械能，热能或直流电變为高頻电的过程中，整个工作系統常要做各种機械的运动，因而引起各种复付問題及能量的无謂損耗。

电子管的发明，是无线电发展中的一个重大的划时代的事件，因为它的許多特殊用途，不但为无线电技术开辟了广阔前途，而且也被利用到許多其它部門中去。用电子管安装成的振蕩器，它本身无需做任何機械振动，就可将直流电能變成交流电能，这一方法得到了广泛的应用。它可以产生周期为几秒的振蕩，也可产生几百兆赫的振蕩。所得到的功率可以从几分之一瓦直到几百千瓦。一般情况下，人們并不使用价值昂贵而且不便于使用的高頻发电機，而宁可把50周市电整流为直流电，然后用电子管振蕩器把这个直流电轉變为高頻电而加以利用。总之，电子管振蕩器以其輸出功率和振蕩頻率有很大范围的伸縮性，比之機械方法产生的振蕩优越得多。

我們已經熟知：一个电子管放大器，可以在外加訊号的激励下，将直流电能轉變成与外加訊号有相同頻率（一般言之）的高頻率电流。至于所謂振蕩器，乃是指放大器不需外加激励訊号，而是由自己的正反饋訊号来代替外加激励訊号，而完成上述工作任务的工具。它的輸出波形和頻率，由电子管的工作情况和所用电路元件如何組合来决定。从輸出的訊号来看，电子管放大器与电子管振蕩器，都有将直流电能轉換为交流电能的作用，这是它们的相同之点，但从被激励的情况看，放大器是受到外加訊号的强弱，頻率大小的控制而工作的，而电子管振蕩器則不需要外加訊号的激励，这是二者的不同之点。

本章中将对电子管振蕩器产生振蕩的物理过程，振蕩的激励条件，振蕩器的計算及理論問題加以說明，对于振蕩器的各种电路也給以一定的討論，特別在生物物理科學研究中以及农业生产实践中常用的电子管振蕩器，则詳加說明。此外，本章的振蕩器着重討論产生簡譜

振荡的振荡方法。至于能产生其他各种波形（如锯齿波，方形波，短脉冲等脉冲波）的电子管振荡器（也可叫做脉冲发生器）将在第六章加以讲述。

第一章在讨论由L、C组成的单回路自由振荡时，已知振荡电流与时间的关系为：

$$i = \frac{-V_0}{\omega L} e^{-\alpha t} \sin \omega t \quad (4.1)$$

由(4·1)式可知， $\frac{V_0}{\omega L}$ 为电流最大振幅 I_m ，但振幅却随时间而减少，也即产生的是

“阻尼振荡”，振荡的频率就是 ω

$$\omega = \sqrt{\frac{1}{LC} - \frac{R^2}{4L^2}} \quad (4.2)$$

$$\text{而 } e^{-\alpha t} = e^{-\frac{R}{2L}t}$$

则决定了振幅衰减的速率。电流变化情况见图4—1，其中(甲)是R为正值时产生的阻尼振荡，由图可见，如果R减小，则衰减的速率变小，振幅的衰减亦逐渐变缓；当R减至于零时，振荡即变为等幅振荡，如图4—1(乙)所示。此时振荡频率由(4.2)得知：

$$\omega = \frac{1}{\sqrt{LC}} \quad (4.3)$$

而这时衰减率 $e^{-\frac{R}{2L}t} = 1$ ，而电流变为：

$$i = \frac{-V_0}{\omega L} \sin \omega t \quad (4.4)$$

式(4·4)意味着，当决定衰减量 α 的电阻等于零时，产生的将是非阻尼振荡。亦即振荡一开始就以振幅 $\frac{V_0}{\omega L}$ 继续下去（其角频率为 ω ），就象力学中无摩擦运动一样，一经开始，便会保持它原有速度无限制的运动下去。如果 R 变为负值，

因为衰减率 $e^{-\frac{R}{2L}t} > 1$ ，故振荡振幅将随时间而增加，变成了如图(丙)所示的增幅振荡，但应当注意的是，似乎当 R 的负值保持不变时，则振幅将无限制的增大，这在实际的振荡器中是不可

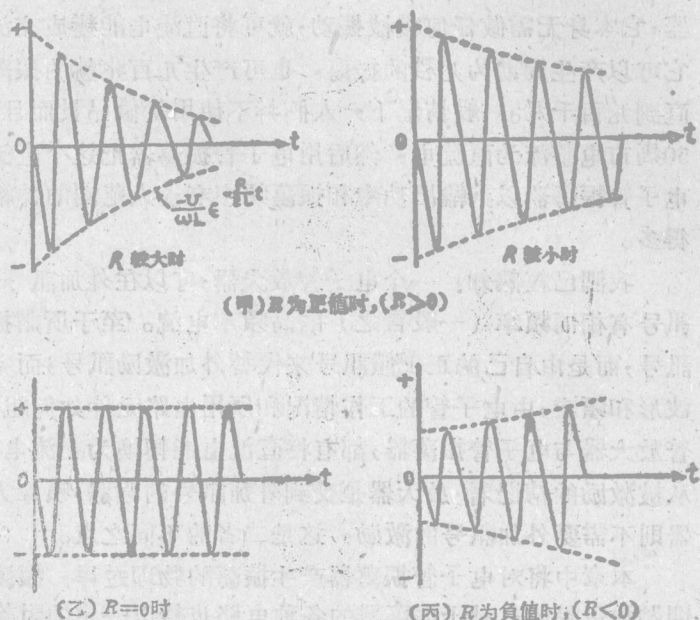


图4—1当 R 为正，零或负值时在 LC 回路中产生振荡电流情况

能的。这是因为在简单的LC迴路中，不可避免的存在分布电阻，其次在为了产生不衰歛的振蕩，迴路中等效串联电阻R的負值多半是由电子管的負阻效应与LC迴路中分布电阻的串联而得到的。因而当振幅增长时，电子管的工作情况改變，使得負阻效应逐渐變小，以至当振蕩器的振幅到达某一數值时，这負阻和迴路本身的正电阻之和为零，则电子管振蕩器即如图(乙)所示做等幅振蕩。

§ 4.2 电子管振蕩器的自激

由上所述可以初步肯定一个LC迴路是否能产生等幅振蕩，决定于电路串联等效电阻是否为零，亦即衰減因數 α 是否为零。 $\alpha=0$ 意味着，这个振蕩的振幅无衰減，因此才能产生等幅振蕩。此外，在式(1.7)中的末項 i 的系數 ω_0 为振蕩迴路LC的共振頻率。(以后我們將證明，上述二結論有普遍意義)。如果振蕩已經產生，其頻率則決定于迴路的LC值。这里应当特別指出的是：用LC迴路中瞬變理論來討論振蕩产生的起始条件， V_0 只能决定于起始振蕩的振幅，这个起始振幅可能很大，也可能很小，但事实上一个振蕩器往往只有一个稳定振幅，而且这个稳定振幅与起始条件(即起始冲击电压 V_0)无关。

我們知道，在LC迴路中产生阻尼振蕩的原因，在于电阻R把部分电能變为焦耳热不再还原。假定补偿了这种損耗后，显然可以把阻尼振蕩變为非阻尼振蕩。为此目的，可以用一个电子管放大器完成这种功用。这种装置必需滿足以下条件：对于LC所組成的单迴路，电子管放大器所供給的能量不小于迴路所損耗的能量，以得到等幅振蕩。此外，由于电子管的能量常由板极輸出，板极輸出訊号相位应与LC迴路振蕩电压的相位一致，否則放大器板极輸出訊号将使LC迴路中的振蕩的振幅減弱，此适当的相位关系叫做相位平衡。因此，一旦在板极LC迴路中产生了阻尼振蕩，則可以用一有同样頻率的外来电源(放大器)来补偿損耗，以得到等幅振蕩。这样做成的振蕩器叫做他激振蕩器。

事实上，这种他激振蕩器完全可以變为自激振蕩器如图4-2和4-3所示，把图4-2中栅极迴路中綫圈AB按图4-3与LC迴路中 L' 耦合起来，假定电子管板极輸出电压为 V_a ，經过L与 L' 的正确耦合(适当的联結二者之間的方向)，使得 L' 輸入給栅极的訊号电压 V_c 与板极电压相角差 180° ，这时 V_c 即代替了他激振蕩器中的外来輸入訊号。因此，就不需要外来訊号的激励，而整个系統便成为振蕩器。

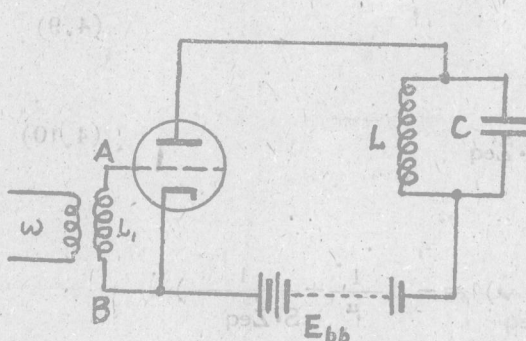


图4-2. 用放大器給L-C迴路补充电能的电路

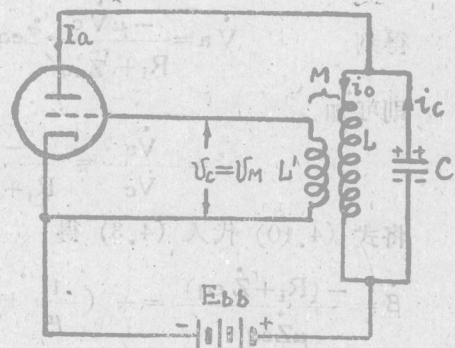


图4-3 电子管振荡器的自激

§ 4.3. 振蕩器的工作原理：

由于振蕩器一般工作在丙类和乙类的情况下(工作于非線性)，因此有栅流存在。这样使

得对振荡器的分析工作显得很复杂。如前所述，作为初步近似，我们仍可以认为它工作在甲类直线上情况下，而略去栅流。设电子管放大倍数为 k ，则 $k = |V_a| / |V_c|$ 。在有适当的 L 与 L' 的匝数比时，可以使由 L 耦合至 L' 的电压，不但相位与板极电压相位差 180° ，而且数值上能满足

$$V_c = \frac{V_a}{k} \quad (4.5)$$

则栅极上的信号就是以维持板压振幅不会衰减。

由于 $|V_c|$ 是回授电压，因而它和电子管的输出电压 $|V_a|$ 之比，正是这系统的反馈系数 β ，即

$$\frac{V_c}{V_a} = \beta \quad (4.6)$$

由(4.5)式和(4.6)式可知，若欲板极电压振幅能够不衰减，则要求

$$\beta = \frac{1}{K} \quad \text{或} \quad 1 - K\beta = 0 \quad (4.7)$$

通常由于 $k > 1$ ，则反馈系数 $\beta < 1$ 。可见，放大倍数越高，则反馈系数可以愈小，即反馈回栅极的那部分维持振荡的控制电压也就可以小些。图4—3的等效电路如图4—4所示。

图4—4中反馈网络代表了图4—3中的振荡回路 $L C$ 与反馈线圈 L' 及互感 M ，这种正反馈作用是经由这个反馈网络而完成的。一般说来，图(4—4)具有更普遍的意义。因为用其他方式反馈的振荡电路中，还可以用其它元件（如电容器等元件）来完成这种所谓正反馈作用的。

由图4—4中，若 Z_{eq} 为从板极方向看去耦合网络所呈现的阻抗，由于回路中电流

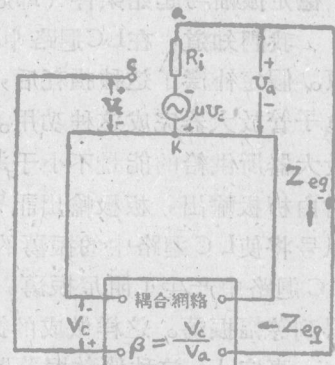


图4—4 图4—3
的等效电路

$$i_a = \frac{-\mu V_c}{R_i + Z_{eq}} \quad (4.8)$$

$$\text{得到 } V_a = \frac{-\mu V_c \cdot Z_{eq}}{R_i + Z_{eq}} \quad (4.9)$$

则可知

$$\dot{\beta} = \frac{\dot{V}_a}{\dot{V}_c} = \frac{-\mu}{R_i + Z_{eq}} \cdot \dot{Z}_{eq} \quad (4.10)$$

将式(4.10)代入(4.3)得

$$\begin{aligned} \dot{\beta} &= -\frac{(R_i + Z_{eq})}{\mu Z_{eq}} = -\left(\frac{1}{\mu} + \frac{R_i}{\mu Z_{eq}}\right) = -\left(\frac{1}{\mu} + \frac{1}{S \cdot Z_{eq}}\right) \\ &= -\frac{1}{\mu} \left(1 + \frac{R_i}{Z_{eq}}\right) \end{aligned} \quad (4.11)$$

方程式(4.11)即所谓“巴克森振荡条件”，式中负号仍然说明着反馈的方向。由于正反

饋要求反饋系數 β 与互感 M 有相同符号，按照这个条件的規定，在已知电子管的參數 μ 、 R_i 和 S 时， β 与 Z_{eq} 的數值應滿足上述条件，才能产生振蕩。(4.11)式說明了 β 与 μ 、 R_i 和 S 三个參數和板极負載阻抗 Z_{eq} 之間的大小及相位关系，应当注意，如果 Z_{eq} 为复數，则 β 也为复數，但通常 Z_{eq} 多是一个共振迴路，在振蕩頻率附近时呈現純電阻性，因此由(4.11)可知 β 为負实數。它的物理意义是表示栅极电位应与板极电位間有 180° 的相角差，这个 180° 的相角差是經由耦合网络來完成的，二电压間的數值关系應滿足 β 的定义即(4.6)式。

在巴克好森振蕩条件中还可看出，放大因數 μ 愈大，以及 Z_{eq} 比 R_i 的值愈大，则在同样的条件下，反饋系數 β 值就可以愈小。 β 小說明振蕩是容易发生的。又由于 Z_{eq} 多为并联共振迴路的阻抗。因此在共振頻率附近是最容易发生振蕩的。因为这时阻抗 Z_{eq} 最大。

上述的两种解釋是我们研究电子管振蕩器的基本出发点。假定有一个象在图4—3所示的調板式的振蕩器电路中，振蕩已經維持正常。那么，这个振蕩开始时是怎样被激励起来的，又如何維持下去的呢？对于这同一个振蕩电路中发生的同一个振蕩現象，用上述两种觀點（即发生在LC迴路中的瞬變現象和正反饋）加以解釋的結論又是怎样的呢？振蕩的更具体的振蕩条件，頻率等問題如何解决呢？以下我們將着重討論上述几个問題。

以时鐘的鐘摆为例，一个上紧了发条的时鐘，可以說已經具备了单摆做非阻尼振蕩的内在条件，但是在沒有外來的原因在单摆的振动方向上推動它一下，它是不会自行开始这种摆动的。同样，一个如图4—3所示的調板式电子管振蕩器中，当电源接通电路后，虽然反饋已符合巴克好森条件，但假若沒有一个外界的純属于偶然的原因（如人推了单摆一下）的激励的話，这个振蕩器也不会开始振蕩的。事实上，这种偶然原因是存在的，而且是多方面的。激励电子管振蕩器的振蕩，通常是一个电脉冲对LC迴路的冲击。这种脉冲通常是由于在接通电路电源的一瞬间，由于电路中存在着电感性的或电容性的元件，或者不可避免的分布电感和分布电容的存在而引起的，也可能是由于阴极电子发射的漲落現象所引起的。此外，当然还有許多其他原因，例如，也可能是由于外界的機械振动，使得电子管的控制栅极发生突然位移而造成的輸入电容變化和控制能力的突然改變等等。这些电脉冲就将在迴路中引起瞬變电流，而在振蕩迴路中激起振蕩。

当有了前述的偶然冲击存在时，假定LC迴路的电容器C充电至如图4—5中曲綫(1)的OA綫段所示的电压，然后通过綫圈L放电，放电时，綫圈L两端电压變化曲綫如曲綫(1)所示。綫圈L中的电流显然由于有自感存在而落后于电压一个相角 Φ 。

$$\Phi = \operatorname{tg}^{-1} \frac{\omega L}{R} \quad (4.12)$$

假若迴路的分布电阻很小，则可以認為 $\Phi=90^\circ$ ，那样，綫圈L中的电流變化可如曲綫(2)所示。

綫圈L中的电流 i 。在线圈L'中感应出的电动势，假定是

$$V_m = M \frac{di_o}{dt} \quad (4.13)$$

若线圈中 L 的电流是正弦变化的：

$$i_o = I_o \sin \omega t \quad (4.14)$$

那么 $V_m = +\omega M I_o \cos \omega t \quad (4.15)$

假定 M 为一正数，则式 (4.15) 中的正号说明栅极上反馈电压的相角与起始冲击电压（即 OA 所示的电压并表现在 L 两端）有相同的相角。则反馈到栅极上的交变电压会如 (4.15) 式给出的

$$V_C = V_m = \omega M I_o \cos \omega t \quad (4.16)$$

栅极上电压变化如曲线 (3) 所示。若假定电子管工作在特性曲线的直线部分，则板流中交流分量 i_p 会和式 (4.16) 所给定的栅压交变分量有相同的相位关系，即

$$i_p = i_{po} \cos \omega t \quad (4.17)$$

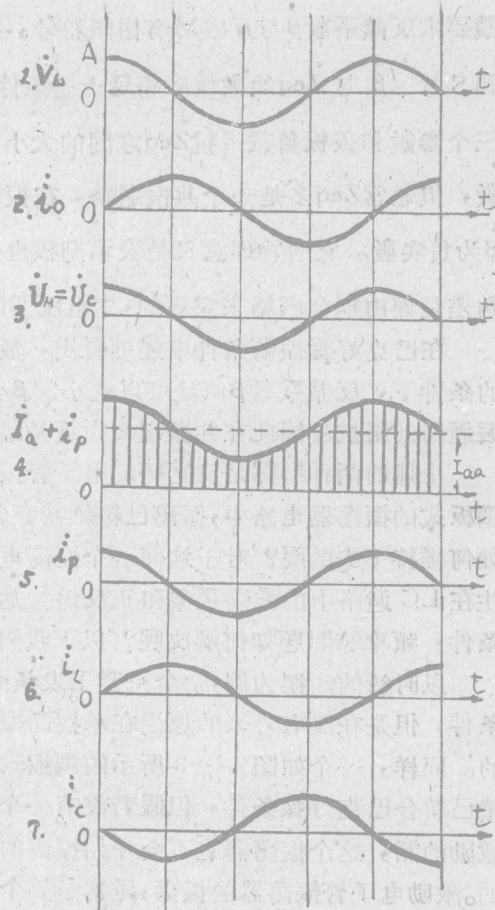
为清楚起见，我们把板流中交流分量特别画出，如曲线 (5) 所示。在我们熟知的板极负载为纯电阻的情况下（这回路在其共振频率下正是如此），板压必然和板流相差 180° 相角。

$$V_a = -\omega L i_{po} \cos \omega t \quad (4.18)$$

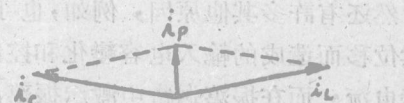
交流板流 i_p 在 LC 回路中分为 i_L 和 i_c 两部分，而 i_c 比 i_p 领前 90° ， i_L 比 i_p 落后 90° ，其波形分别如曲线 (6)、(7) 所示。

将线圈 L 中由于电容器 C 放电而产生的电流 i_{al} 的变化曲线和在同一线圈中由板流的交流分量 i_p 所产生的电流 i_{al} 变化曲线相比较，不难得出这样的结论：两个电流的相角是重合的。这样就可以把板流 i_p 看成是由于振荡回路的线圈中的电流 i_{al} 和电容支路中的电流 i_c 合成的。在振荡回路中的电阻甚小时， i_L 与 i_c 几乎有 180° 的相角差如图 4—5，(B) 这种情况下 $|i_p|$ 远小于 $|i_L|$ 和 $|i_c|$ 。当振荡回路中的电阻趋近于零时， i_L 和 i_c 便有 180° 的相角而 i_p 将为零，这一点若考虑到并联系到单回路在电阻 $R \rightarrow 0$ 时，回路的阻抗趋于无限大就不难理解了。

由此可见，板流 i_p 的存在恰足以补偿在电阻 R 不为零时所引起的能量消耗（同时也只有 R 不为零时 i_p 才可能出现；）因此振荡将不会衰减。还必须指出这一能量的补给是“适时的”（这表现为 i_p 和 i_L 及 i_c 之间有恰当的相角关系），否则振荡也难于维持。至于 i_p 的大小（它的大小和给予回路的“补偿能量”的大小有关）怎样会恰巧适合振荡回路的要求而不致使振荡越振越强或者渐渐衰减我们将稍后一点讨论。



(A) 各部分电流与电压的变化



(B) 板流的合成

图 4—5 自激过程中电路里各部分电压与电流的变化情况及板流的合成。

綜合上面所述，我們不難看出，一個振蕩迴路（如 LC 的迴路）的工作情況與單擺的無阻尼振動情形是極其類似的。電子管振蕩器工作的機械比擬，往往使我們極其明顯形象的了解振蕩的物理意義。由此也可以看出構成振蕩器的基本條件應當有三個。

一是包括兩種元件的一套振蕩迴路。當迴路中的一個元件釋放某種形式的能量時，另一元件就接收這些能量而把它轉換為另一種形式的能，這轉換應當是能往返進行的，其頻率主要是由兩種元件的數值來決定。如前所述 LC 可以組成振蕩迴路，以後我們也將說明 RC 也是能組成振蕩迴路的。

另一條件，是應當有能量的來源，以便補充迴路內分布電阻所耗損的能量，以及迴路有輸出時所必需的輸出能量。在電子管振蕩器中供給能量的是板極直流電源。

最後一個條件是一個控制設備，它能使能源在振蕩的每一個周期的適宜時間內來補充振蕩系統的耗損，以維持等幅振蕩。而欲維持其等幅振蕩，不但與每個周期內補給能量有關，而且還與補給能量的時間有關。

在電子管振蕩器中，這種控制設備是由電子管擔當，由電子管放大作用及耦合網絡緊密與否來決定補給多少，而補給的適當時間是由網絡的正反饋作用控制。

按圖 4—3 的原理電路所做成的振蕩器的實際電路如圖 4—6 (A)。它的等效電路如圖 4—6 (B)。以下我們將就結合這種電路來進行分析。

(一) 產生等幅振蕩的必要條件：

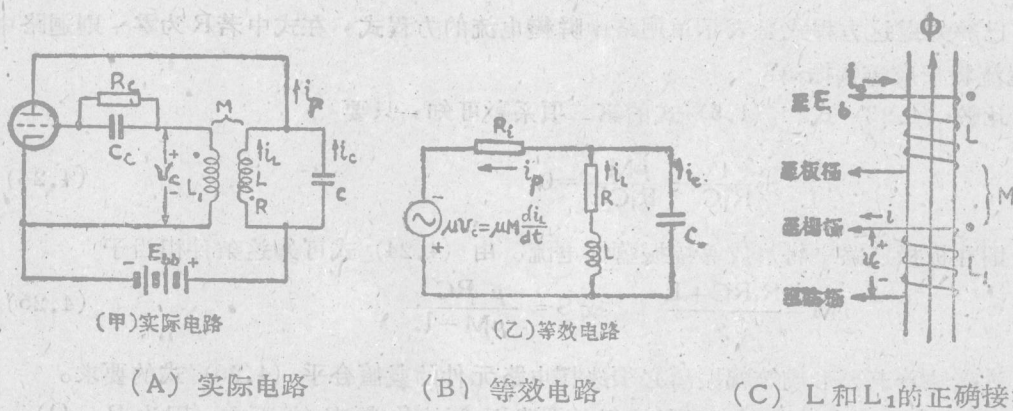


图 4—6 调板振荡器

圖中 LC 組成振蕩迴路，由於板極電路內含有調諧電路，所以稱為調板振蕩器。 E_{pb} 供給振蕩器所需的功率。耦合電路由柵極線圈 L_1 、板極線圈 L 及二者之間的互感所組成，它們和電子管的放大作用組成了所需的“控制設備”。

注意圖中的振蕩器因為工作於丙類，因此，柵偏壓必須用柵漏偏壓而不用固定偏壓，否則最初的瞬間無板流產生而不能起動振蕩。因為在最初工作時，柵流 i_C 為零，故柵偏壓為零，有板流產生，而能引起電脈衝產生自由振蕩。

另外 L 及 L_1 的關係通過由 M 的耦合作用在 L_1 中感應的電壓能形成正反饋，因此 L_1 中所感應的電壓 V_C 即由 (4.13) 或 (4.16) 式所表示。

在实际装置中 L_1 和 L 多半是繞在同一个軸上的两个綫圈，按照图 4—6 (C) 中方法連接就可以获得正反馈。

由图 4—6 (B) 的等效电路可以得出如下的方程式組。

$$\mu M \frac{di_L}{dt} = i_P R_i + i_L R + L \frac{di_L}{dt} \quad (4.19)$$

$$i_P = i_C + i_L \quad (4.20)$$

$$\frac{1}{C} \int i_C dt = i_L R + L \frac{di_L}{dt} \quad (4.21)$$

将式 (4.21) 微分得

$$i_C = RC \frac{di_L}{dt} + LC \frac{d^2 i_L}{dt^2} \quad (4.22)$$

把 (4.20) 和 (4.22) 式代入 (4.19) 式并化簡得

$$\frac{d^2 i_L}{dt^2} + \left(\frac{R}{L} + \frac{1}{R_i C} - \frac{\mu M}{R_i C L} \right) \frac{di_L}{dt} + \frac{R_i + R_{iL}}{R_i C L} i_L = 0 \quad (4.23)$$

这个式子和 (1.5) 式在數學形式上极相似，为了便于比較，将 (1.5) 式重写如下：

$$\frac{d^2 i}{dt^2} + \frac{R}{L} \frac{di}{dt} + \frac{1}{LC} i = 0 \quad (1.5)$$

已經知道这方程式是表示单迴路中瞬變电流的方程式，在式中若 R 为零，则迴路中的振蕩电流将形成等幅振蕩。

比較 (4.23) 式和 (1.5) 式的第二項系数可知，只要

$$\frac{R}{L} + \frac{1}{R_i C} - \frac{\mu M}{R_i C L} = 0 \quad (4.24)$$

則在板极迴路中将形成等幅振蕩性电流。由 (4.24) 式可知这条件相当于

$$M = \frac{R_i R C + L}{\mu} \quad \text{或 } S = \frac{\mu R C}{\mu M - L} \quad (4.25)$$

这意味着若要形成等幅振蕩必須選擇电路元件的數值合乎 (4.25) 式的要求。

已知 (1.5) 式第三項的系数等于单迴路振蕩的角頻率的平方 (因为 $R = 0$)，比較 (1.5) 式和 (4.23) 式可知，調板振蕩器的頻率 ω 应当是

$$\omega^2 = \frac{1}{LC} \left(1 + \frac{R}{R_i} \right) \quad (4.26)$$

$$\text{或 } \omega = \frac{1}{\sqrt{LC}} \sqrt{1 + \frac{R}{R_i}} = \omega_0 \sqrt{1 + \frac{R}{R_i}} \quad (4.27)$$

通常 $R \ll R_i$ ，所以 ω 可近似的表示如下：

$$\omega \approx \omega_0, \quad \omega_0 = \frac{1}{\sqrt{LC}} \quad (4.28)$$

由此看出，产生和維持振蕩的条件是和綫圈間互感M，电子管及耦合网络的參數有关，式(4.28)中的 $(-\mu M/R_i LC)$ 項可看作是电子管及耦合网络电路的正反馈作用所产生的負电阻，由于它抵消了迴路中正的电阻，才有等幅振蕩产生及持續不断的可能，其頻率是由耦合网络參數所决定的。

上面用直線性理論对于振蕩器的工作原理加以討論，由于它所反映的情况是理想的，与实际情况不相符合，虽然較方便地推出了振蕩条件，但却得出了錯誤的結論，即振蕩的稳定振幅是由起始条件所决定的，但实际振蕩器的稳定振幅完全和起始条件无关。

关于稳定振幅的大小，只有把电子管看成非綫性元件才能作較充分的討論，也只有这样才能了解起始脉冲的作用。但是非綫性理論在數學上相当煩難，我們在下面将采用准直線理論来对振蕩过程进行分析，这样可以免去數學上的困难，而且也还能把过程的本質揭示清楚。

假定在选择电路參數时使

$$\frac{R_i}{L} + \frac{1}{R_i C} - \frac{\mu M}{R_i CL} < 0 \quad (4.29)$$

或

$$M > \frac{R_i RC + L}{\mu} \quad (4.30)$$

$$\text{即 } S > \frac{R_i RC + L}{R_i M}, \text{ 或 } S > \frac{\mu RC}{\mu M - L} \quad (4.31)$$

这时(4.28)式中第二項的系數将有負值。根据以前对于单迴路的討論可知，这时振蕩的振幅将逐渐增大有无限上升之势。

反之，若

$$M < \frac{R_i RC + L}{R_i M} \text{ 或 } S < \frac{\mu RC}{\mu M - L} \quad (4.32)$$

則振蕩的振幅将不断衰減。

通常在調板振蕩器中都選擇M及其它各元件的數值使得电子管在綫性範圍內工作时(4.30)得到滿足。这样振蕩在得到电脉冲的冲击时，振蕩的振幅便有无限扩张之势。

然而，在实际上振幅当然不可能无限上升，例如在柵极电位上升至和阴极电位相等之后，綫圈 L_1 上的感应电动势虽仍上升但柵极电位则由于柵极和阴极間这时的低电阻而不可能有很大的上升，因而板流的增量就不再和 L_1 中电动势的增量成正比了，这相当于跨导的降低。又例如在柵极电位下降至截止电压以下时，则柵压的进一步降低将不再使板流进一步下降（因为板流已为零了），这也相当于跨导的减小，因为柵压的變化完全不引起板流的變化。跨导的减小或者说放大倍數的减小，就会限制振幅的无限扩张。

綜上所述，不論柵极电位太高（即柵极振蕩电压的正峰值附近），或者柵极电位太低（柵极负峰值附近）电子管的跨导都要减小，即在振幅很大时，电子管跨导就不能再視為常數，相应的 μ 和 R_i 当然也不能再視為常數，因此我們說，在振幅过大时，电子管将进入非綫性範圍。由此可見等幅振蕩之成为可能，电子管作为非綫性元件也是必不可少的条件，同时这也就說明了电子管振蕩器都常有一个稳定的振幅而这振幅的大小不依賴于起始电脉冲的大小的道理。

为了避免數學上的麻煩，我們把这非綫性状况下工作的电子管的跨导用平均跨导 S 来表示，我們認為維持等幅振蕩的条件(4.25)可以改由下式来代替

左一关系式(4.31)和(4.32)我們有

$$\bar{S} = \frac{\mu RC}{\mu M - L} \quad (4.33)$$

而代替式(4.31)和(4.32)我們有

$$\bar{S} > \frac{\mu RC}{\mu M - L} \quad (4.34)$$

振幅将要逐渐增强。而在

$$\bar{S} < \frac{\mu RC}{\mu M - L} \quad (4.35)$$

时振幅将逐渐衰减。

至于如何决定 \bar{S} 的大小,可参阅图4—7,图中下部给出了栅极电压的波形图,由图中可见,栅极电位有时大于零(高于阴极),有时在截止电位以下,因而图中转移特性曲线的斜率在整个栅极电压变化的范围内不再是一个常数,也就是说跨导不再是一个常数。在这种情况下我們采用图中的 Δi_a 和 ΔV_c 之比为平均跨导 \bar{S} 即

$$\bar{S} = \frac{\Delta i_a}{\Delta V_c} \quad (4.36)$$

这平均跨导就是图中转移特性曲线附近的虚线的斜率。

由图4—8中还可以看出 \bar{S} 的值随着栅偏压和栅极信号的振幅而变(是谓非线性)。

假定振荡器最初是以图4—8中的 Q_1 点为其电子管的工作点。而在 Q_1 点时电子管的跨导 S_1

$$S_1 > \frac{\mu RC}{\mu M - L} \quad (4.37)$$

此时振幅为 V_1 ,而在振荡过程中的平均跨导为 \bar{S}_1 ,若 \bar{S}_1 也够大,足使

$$\bar{S}_1 > \frac{\mu RC}{\mu M - L} \quad (4.38)$$

则振幅将逐渐增长。同时回授至栅极的信号电压也随着增长。假定栅压振幅渐增,同时由于栅漏偏压也随振幅增长而逐渐增大,工作点逐渐向左方移动,同时 \bar{S} 也逐渐减小,一直到工作点移到 Q_2 点,而栅极电压振幅也达到 V_2 。这种情况下平均跨导 S_2 恰好满足

$$S_2 = \frac{\mu RC}{\mu M - L} \quad (4.39)$$

这时振幅就不再增加,而成为稳定的等幅振荡。即使由于某种偶然的原因使振荡的振幅减少了,显然振荡器会自动的使振幅逐渐加大仍回到这一点(满足(4.33)式的点)作等幅振荡。

即或由于起始冲击过大,或者某种偶然的因素使振荡器的工作点移至 Q_3 ,栅压振幅也變

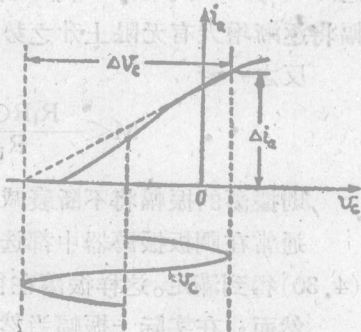


图4—7平均跨导 \bar{S} 的意义

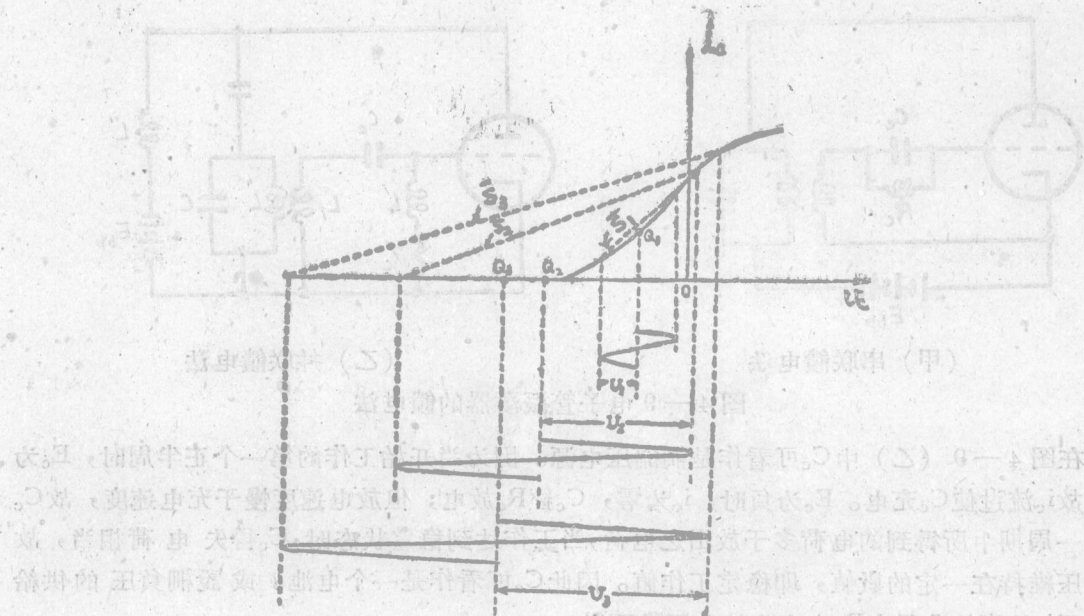


图4-8 由 \bar{S} 的變化來解釋振蕩振幅是如何達到穩定的

為 V_3 ，由於此時的平均跨導 \bar{S}_3 小於 \bar{S}_2 ，故有

$$\bar{S}_3 < \frac{\mu RC}{\mu M - L} \quad (4.40)$$

因而振蕩將減幅直到工作點仍移至 Q_2 點，柵壓振幅仍變成 V_2 ，才能穩定的作等幅振蕩。

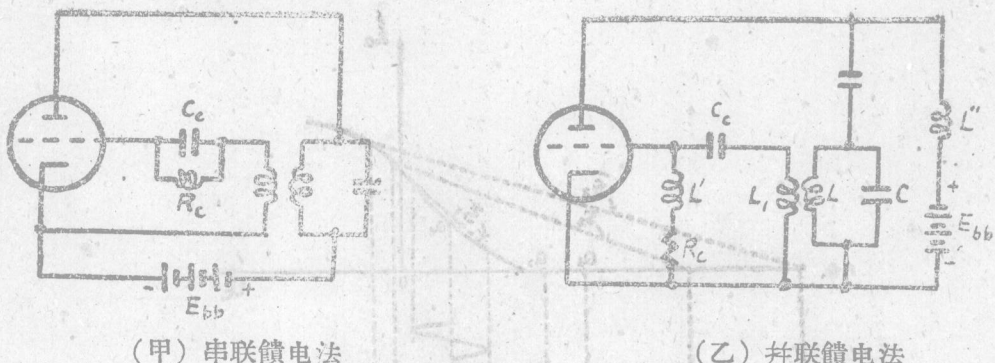
由此可見， Q_2 點是這振蕩器穩定工作的工作點， V_2 是振蕩器穩定工作時的柵壓振幅。不論起始電脈衝大小如何，或者有何偶然因素使振蕩發生變化，振蕩器都將回到這個穩定狀態。

以上的討論應當注意獲得穩定振蕩的條件是：在靜態工作點上跨導滿足(4.31)式，而且在平衡點附近的平均跨導 S 隨振幅的增大而減小。有時電子管的工作點或者電路元件選擇不恰當而不能滿足這一條件，這種情況下振蕩器多半或者完全不能起振，或者振蕩發展至最後終於停止。有時這種振蕩器在大脈衝的激勵下也可以起始振蕩，而在大振幅下這電子管的平均跨導也可能恰好滿足等幅振蕩的要求，這時振蕩器將維持穩定振蕩，這種情形叫做硬激勵。硬激勵振蕩器在停止振蕩後不易重行振蕩，只有在強大訊號的激勵之下才重新振蕩。相反的，通常能滿足獲得穩定振蕩條件的振蕩器叫做軟激勵振蕩器。通常軟激勵振蕩器多半無須加外激勵就會自行振蕩，因為極為微小的偶然衝擊都會形成一微小的振蕩，而這振蕩就會發展到形成穩定的等幅振蕩為止。

(二) 振蕩器的板極和柵極電源供給：

和丙類放大器一樣，振蕩器的板極電源可用並聯和串聯兩種饋電法。

振蕩器多半工作在丙類，但柵偏壓的供給不用固定偏壓，而採用柵漏偏壓，因為當板壓最初接上時，若用固定柵偏壓，柵壓可能處於截止值以下因此板流為零，而用柵漏偏壓則在最初工作時，柵流為零，即柵偏壓為零，故有板流產生，而起動了振蕩。而且使用柵漏偏壓可以自動調整振蕩器的工作點，使振幅幾乎近於定值。



(甲) 串联馈电法

(乙) 并联馈电法

图 4—9 电子管振荡器的馈电法

在图 4—9 (乙) 中 C_c 可看作是栅偏压电源。因为当开始工作的第一个正半周时, E_c 为正, 故 i_c 流过 C_c 充电。 E_c 为负时, i_c 为零, C_c 经 R_c 放电; 但放电速度慢于充电速度, 故 C_c 上在一周期中所得到的电荷多于放出之电荷, 当工作达到稳定状态时, C_c 得失电荷相当, 故栅负压维持在一定的数值, 即稳定工作值。因此 C_c 可看作是一个电池。或说栅负压的供给是由于 i_c 的直流分量在 R_c 上产生的电压降而得。

在应用中常使直流电表串联于栅路中, 有电流存在即证明了振荡已产生。同时栅流的大小, 还标志着振荡的强弱。

在使用栅漏偏压时有这样两种情况, 在设计电子管工作点时应特别注意:

(甲) 间歇振荡:

即如果栅漏电阻 R_c 及其旁路电容 C_c 所组成的时间常数太大, 那么振荡有时产生, 有时停止, 这种现象称为间歇振荡。

其原因是时间常数 $R_c C_c$ 太大, 故当振荡增强时, 栅偏压不能迅速跟着增长, 振荡减弱时, 也不能随即减弱, 以致使平均的跨导不能维持等幅振荡。

(乙) 正栅止荡现象:

这现象是振荡突然停止, 栅极有逆向的电流, 使栅极处于正电位, 板流大增, 电子管因发热过甚而致烧毁。

其原因是当栅极激励电压过高时, 栅极将产生次级发射或因过热而产生热电子发射所致。逆向电流在 R_c 上所产生的电位降使栅极处于正电位, 有使板流增至饱和值的可能。有时甚至会使电极毁坏。为了避免这样现象的发生, 工业上在制造电子管时经过一些特殊处理, 使得在通常情况应用时, 不致发生正栅止荡现象。

§ 4、4 几种常见的振荡器型式和振荡频率稳定问题

① 调板振荡器:

这种振荡器前面已有所讨论, 其电路如图 4—9, 这种振荡器的调谐电路在板极电路中。振荡器的振荡频率即由这调谐电路所决定。这种振荡器易于振荡, 波形和频率稳定性都不算很好。

② 调栅振荡器:

这种振荡器和调板式振荡器很相似, 只是调谐电路在栅极回路中。它的频率稳定性还不

如調板式振蕩器，采用的較少。

調柵式振蕩器的電路見圖4—10。

③哈特萊振蕩器：

這種振蕩器是一種最常見的振蕩器，它的電路見圖4—11。

其特點是，就交變電流而言，板極和柵極接於調諧迴路的兩端而陰極或 B^+ 則接在線圈中部的某一點。目的為獲得柵壓和板壓的正確的相位關係。即迴路振蕩於其固有頻率附近時，電子管的輸出和輸入間的相角差為 180° 。 L_1 和 L_2 組成了分壓器。在有互感 M 存在時，振蕩的頻率由下式決定。

$$\omega = \frac{1}{\sqrt{C(L_1 + L_2 + 2M)}} \quad (4.42)$$

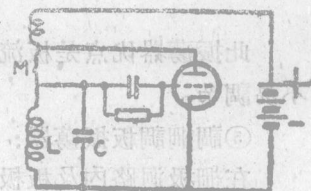


圖4—10調柵振蕩器

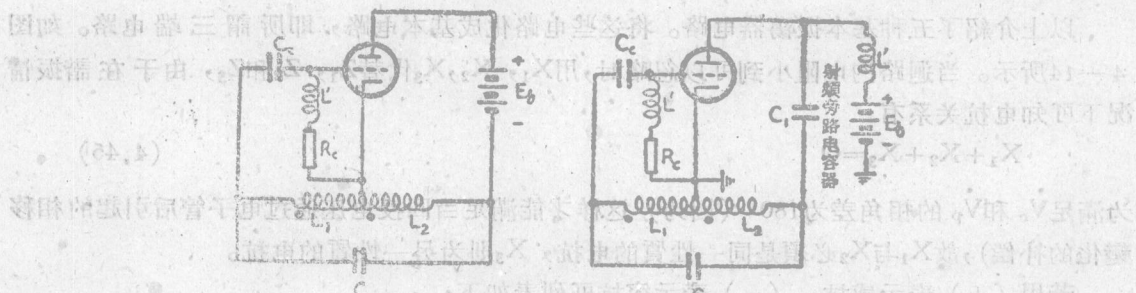


圖4—11 哈特萊振蕩器

當 L_1 與 L_2 之間無互感時，也可能產生振蕩。這時

$$\omega = \frac{1}{\sqrt{C(L_1 + L_2)}} \quad (4.43)$$

此振蕩器優點在於易於產生振蕩和便於調節。在要求不高時，完全可以先使其振蕩（這種振蕩甚至在電路參數選擇不當時，也能發生），再用實驗辦法調節它的頻率和振幅。其缺點為工作在丙類時，因板流和柵流均為脈衝狀，包括諧波極多，而它又沒有低阻抗迴路，致不能使諧波返至陰極，因此迴路上所生諧波電壓較其他各種振蕩器均大。

④柯爾皮茲振蕩器：

和哈特萊式相反，它是利用電容器做為分壓器的，其電路如圖4—12。此種接法只能採用

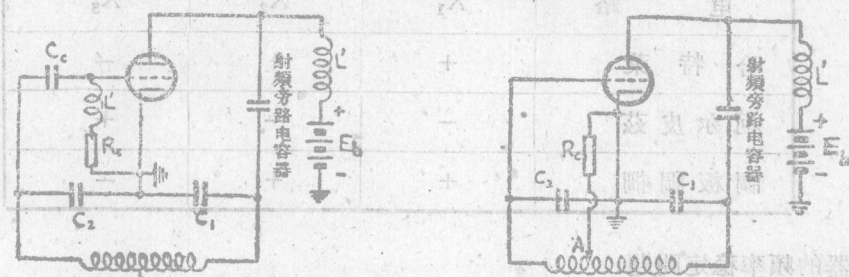


圖4—12 柯爾皮茲振蕩器

并联馈电法。如果略去迴路电阻，则它的振荡角频率为

$$\omega = \frac{1}{\sqrt{\frac{C_1 C_2}{C_1 + C_2} \cdot L}} \quad (4.44)$$

此振荡器优点是板流内谐波由低阻抗迴路返至阴极，因此波形比哈特莱式为好，缺点是不易调节。

⑤调棚调板振荡器：

在栅极迴路内及板极迴路内各接有一个调谐迴路，如图(4—13)所示， L_1 与 L_2 之间无互感存在。板极与栅极迴路之间的反饋是由电子管内部极间电容 C_{ca} 来完成。为使振荡器正常工作，在工作频率时，板极负载及棚路负载均需为电感性才好。所以其工作原理颇与哈特莱式相似。但对于谐波 C_1 及 C_2 则起着短路作用，因而它又具有柯尔皮兹式的优点。因此输出波形非常近于正弦波。

以上介绍了五种基本振荡器电路。将这些电路化成基本电路，即所谓三端电路。如图4—14所示。当迴路内电阻小到可以忽略时，用 X_1 ， X_2 ， X_3 代替 Z_1 ， Z_2 和 Z_3 ，由于在谐振情况下可知电抗关系有：

$$X_1 + X_2 + X_3 = 0 \quad (4.45)$$

为满足 V_c 和 V_p 的相角差为 180° （因为）这样才能满足当回授电压通过电子管后引起的相移变化的补偿，故 X_1 与 X_2 必须是同一性质的电抗， X_3 则为另一性质的电抗。

若用 (+) 表示感抗，(-) 表示容抗可列表如下：

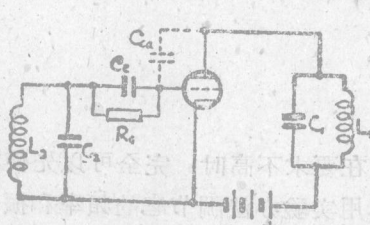


图 4—13 调板调棚振荡器

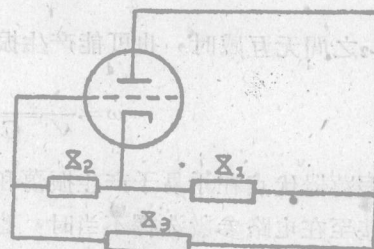


图 4—14 振荡器的三端等效电路

表4.1

电 路	X_1	X_2	X_3
哈 特 莱	+	+	-
柯 尔 皮 兹	-	-	+
调 板 调 棚	+	+	-

振荡器的频率稳定问题：

由于维持振荡频率的稳定不单是发送设备必须考虑的主要问题，而且在农业生产上所用